

Na - Se

3040

1887

Fabre P.A.,

Ann.chim.phys.10, 472 (1887)

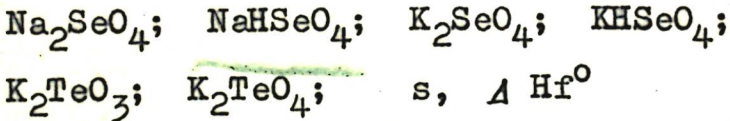
Li_2Se , $\text{Li}_2\text{Se}\cdot 9\text{H}_2\text{O}$, Na_2Se , $\text{Na}_2\text{Se}\cdot n\text{H}_2\text{O}$,
 NaHSe , K_2Se , $\text{K}_2\text{Se}\cdot n\text{H}_2\text{O}$, KHSe (p-p, ΔHf° ,
kp)



M, W

1898

1846



Metzner

Ann.chim.Phys., 15, 203, 1898

W

1941

1968

NaHS; NaHSe; KHS; KHSe; RbHSe;
RbHS; CsHS; CsHSe; cr, s Δ Hf^O, Δ Hag

Teichert W., Kleemann W.
1. Z. anorg. und allgem. Chem., 246,
3, 1941

M, W

Circ. 500



circ 500

ФВ-Х-1964

1941

NaSeH

Teichert W.

Z. anorg. und allgem.
Chem. 247, 113-23, 1941.

[еще ссылка на русский]

Teichert W., Klemm W.,

Z. an. Chem., 1939, 243, 86 об.]

ΔH_{T2}

T_{T2}

как указано, это у NaSH и еще 5 соед.

κII , вслк $\rightarrow \kappa \text{I}$, нуб
гексагонально-
(CTP-тип NaCl)

ромбодиэдрический

Так

$\text{NaH}_3(\text{SeO}_3)_2$ BP-271-X 1959

Φ Peninsky R, Tiedam K.

(Ttr)

Phys Rev 1959, 114, N5,
1217-1218.

1959

737

KHSeO₃, NaHSeO₃, KSe₂O₅·H₂O,

NaSe₂O₅·H₂O (str.)

Simon E.H.A., Paetzold R.,
Wiss.Z.Techn.Hochschule Dresden,

1958-1959, 8, N 1, 215

Исследование спектров комбинационного

J

ленты ФК

1962г

Na_2Se_2 Кристалл. Структура

Föppel H. u. gr., Z. Anorg. Chem., 1962, 314, №2, 12

hexar., a 4,685; c 10,53A; z=2; sp. zp. D_{ch}^4
- $\text{P}6_3/\text{mmc}$

Ti₂Si

V-4089

1968

$\text{NaH}_3(\text{SO}_3)_2$, $\text{CH}_3\text{NH}_3\text{Al}(\text{SO}_4)_2 \cdot 12\text{H}_2\text{O}$
(C_p , T_{tr} , ΔS_{tr} , ΔH_{tr})

Makita Y.

J. Phys. Soc. Japan, 1964, 19; 571

B

ecr6 Q.K

CA, 1964, 61, M3, 154206

3672

1965

NaH₃(SeO₃)₂, NaD₃(SeO₃)₂ (97%)

Табакова - Тюгайская Г. В.,
Юдин А. Н., Дуневин А. Г.

Ч. эксперим. и теор. физ.

Тюмень 6 янв., 1965, 1,

36-39

5

CA, 1965, 63, pt. 1, 1930f

VI 3970

1965

K0418540

Vi, Cu. Iwim.

($\underline{\text{Na}_2\text{Se}_2\text{O}_7}$, $\underline{\text{K}_2\text{Se}_2\text{O}_7}$, $(\text{NH}_4)_2\text{SeO}_7$,
 $\text{Ag}_2\text{Se}_2\text{O}_7$)

Paetzold R.

Amoulong H., Rusicka A.

Z.anorgan. und allgem.Chem., 1965, 336,

N 5-6, 278-285

Untersuchungen an Selen-Sauerstoff-Verbindun-
gen. XXVI. Schwingungsspektrum und Kraft-
konstantem des Diselenations

PX., 1967, 105146

J

Na_2SSeO_3

1966.

2 В15. Синтез тиоселената натрия. Кожакова А., Букетов Е. А., Бакеев М. И., Шоканов А. К. «Ж. неорган. химии», 1966, 11, № 8, 1782—1785

Показана возможность получения соединения Na_2SSeO_3 кипячением селениита с элементарной S в щел. р-ре. Исследованы характерные колебательные спектры соединений Na_2SSeO_3 , $\text{Na}_2\text{S}_2\text{O}_3$ в ИК-области спектра от 1900 до 400 см^{-1} . Доказана аналогия в структуре и св-вах между тиосульфатом и тиоселенатом.

Из резюме авторов

2. 1967. 2

NaSeO_3F Edwards A.J. u.g.p. 1967

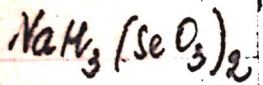
J. Chem. Soc.

A, N4, 557

Kucci:
cup-pa

Molecular proceccator

1967



10 Б515. Поведение края собственного поглощения сегнетоэлектрических гидроселенитов в окрестности фазовых переходов. Иванов Н. Р., Верховская К. А. «Физ. твердого тела». 1967, 9, № 10, 2974—2977

T_{cr}

Изучены температурные зависимости положения края собственного поглощения селенитовых групп монокристаллов гидроселенитов, щел. металлов: $\text{LiH}_3(\text{SeO}_3)_2$ (I), $\text{NaH}_3(\text{SeO}_3)_2$ (II) и $\text{KH}_3(\text{SeO}_3)_2$ (III). Найдено, что температурные зависимости ширины запрещенной зоны имеют аномалии в области фазовых переходов, причем фазовый переход в точке Кюри при $-78,6^\circ$ для II сопровождается скачком температурного коэф. $\Delta(dE_g/dT) = -2,9 \cdot 10^{-4}$ эв/град, а переход при $-172,5^\circ$ — скачком ширины запрещенной зоны $\Delta E_g = 0,06$ эв; при фазовом переходе в III при $-61,6^\circ$ наблюдается сакчок $\Delta(dE_g/dT) = -4,4 \cdot 10^{-4}$ эв/град; для кристаллов I обнаружено нелинейное изменение ширины запрещенной зоны с т-рой при приближении к точке плавления.

Резюме

Х · 1968 · 10



Д

$\text{NaH}_3(\text{SeO}_3)_2$

ВФ-6086-Х

1887

Дз Б501. Вторичный сегнетоэлектрический фазовый переход в кристаллах $\text{NaH}_3(\text{SeO}_3)_2$ и их физические свойства. Shuvaylov L. A., Ivanov N. R. The second ferroelectric phase transition in $\text{NaH}_3(\text{SeO}_3)_2$ crystals and their physical properties. «Phys. status solidi», 1967, 22, № 1, 279–287 (англ.: рез. русск.)

см. изб.

фазовый
переход

Х. 1888·3

Изучены спонтанная поляризация, коэрцитивное поле, диэлектрическая проницаемость, электрооптические свойства и доменная структура сегнетоэлектрических монокристаллов $\text{NaH}_3(\text{SeO}_3)_2$ (I), выращенных из водных растворов по методу Вернейля, в интервале температур от -195 до 0° . Показано наличие фазового превращения при $-78,6$ и $-172,5$ в I. Обнаружено наличие двух доменных систем и вклада доменов в диэлектрическую проницаемость в триклинической сегнетоэлектрической фазе. Обсуждены электрическая многоосность кристалла в этой фазе, энантиморфизм доменов и другие особенности электрического двойникования. Показано резкое различие в поведении взаимоперпендикулярных компонент спонтанной поляризации.

Р. Хайкин

NaHSeO₃

Bsp-5173 - X

1968

15 Б709. Термодинамика образования гидроселенита натрия
NaHSeO₃. Селиванова Н. М., Рощина З. В. «Ж.
неорганической химии», 1968, 13, № 3, 630—634

В калориметре с изотермич. оболочкой при 25° измерены интегральная теплота превращения в воде безводного кристаллич. NaHSeO₃ (1 : 800) и теплота пр-ции взаимодействия кристаллич. NaHSeO₃ с водным р-ром нитрата свинца. Вычислена стандартная теплота образования из простых в-в кристаллич. NaHSeO₃ $\Delta H_{298}^{\circ} = 182 \pm 0,2$ ккал/моль.

Автореферат

ДНР

X · 1968 · 15

1968

Bp - 5173-X

NaHSeO₃

3

 ΔH_f

13539g Heat of formation of sodium hydrogen selenite.
 Selivanova, N. M.; Roshchina, Z. V. (Khim.-Tekhnol. Inst. im. Mendeleeva, Moscow, USSR). *Zh. Neorg. Khim.* 1968, 13(3), 630-4 (Russ). The standard heat of formation (ΔH_{298}°) of cryst. NaHSeO₃ from the elements was detd. calorimetrically by 2 independent methods: (1) by measuring the integral heat of soln. of cryst. NaHSeO₃ in water by prep. a soln. of 1:800 concn., and by the subsequent correction for the heat of soln. to the value 180.9 kcal./mole for ΔH_{298}° NaHSeO₃ (aq.); (2) by measuring the heat effect (ΔH) of the reaction: NaHSeO₃ (cryst.) + Pb(NO₃)₂ (aq., 1:800) = PbSeO₃↓ (cryst.) + NaNO₃ (aq. 1:800) + HNO₃ + ΔH , with the subsequent calcn. according to the Hess cycle. In both cases, the standard heat of formation was equal to $\Delta H_{298}^{\circ} = 182.2 \pm 0.2$ kcal./mole. 14 references.

Jean Plamondon

C.A. 1968. 69.4

Na₂Se₂O₅

BP-4261-X

1969

19 В15. Синтез и термохимическое исследование пироселенита натрия ($\text{Na}_2\text{Se}_2\text{O}_5$). Рощина З. В., Селиванова Н. М. «Ж. неорган. химии», 1969, 14, № 4, 877—879

Синтезирован чистый кристаллич. $\text{Na}_2\text{Se}_2\text{O}_5$ (I). В калориметре с изотермич. оболочкой при -25° измерена теплота р-ции I (крист.) + $2\text{Pb}(\text{NO}_3)_{2(aq,400)} + \text{H}_2\text{O}_{(жидк.)} = \text{PbSeO}_3_{(крист.)} + 2\text{NaNO}_3_{(aq,400)} + 2\text{HNO}_3_{(aq,400)}$. Вычислена стандартная теплота образования из простых в-в кристаллич. I: $\Delta H_{298}^\circ = -290 \pm 0,3$ ккал/моль. Резюме

X. 1969.

19

Na₂Se₂O₅

B9P-4261-X

1969

25270s Synthesis and thermochemical study of sodium pyroselenite ($\text{Na}_2\text{Se}_2\text{O}_5$). Roshchina, Z. V.; Selivanova, N. M. (USSR). *Zh. Neorg. Khim.* 1969, 14(4), 877-9 (Russ.). On crystn. from aq. soln., $\text{Na}_2\text{Se}_2\text{O}_5$ contained some NaHSeO_3 . Heating the sample at 110° until const. wt. gave pure $\text{Na}_2\text{Se}_2\text{O}_5$. The calorimetrically detd. ΔH for the reaction of cryst. $\text{Na}_2\text{Se}_2\text{O}_5$ with $\text{Pb}(\text{NO}_3)_2$ in water to give PbSeO_3 , NaNO_3 , and HNO_3 was -8.141 ± 0.002 kcal./mole. The standard ΔH of $\text{Na}_2\text{Se}_2\text{O}_5$ formation is -290.6 kcal./mole. The ΔH of dissoln. of $\text{Na}_2\text{Se}_2\text{O}_5$ and NaHSeO_3 in water at 1:400 concn. was -2.16 and 1.36 kcal./mole, resp.

HMJR

ΔH_f

ΔH_{diss}

C.A. 1969.

71.6

21 Б776. Физико-химическое изучение трехводного гидроселенита натрия. Роцина З. В., Селиванова Н. М., Аианына М. С. «Изв. высш. учебн. заведений. Химия и хим. технол.», 1969, 12, № 5, 535—538

1969

Методами термографии, а также хим. и рентгенофазового анализа изучено поведение при нагреве кристаллич. соли $\text{NaHSeO}_3 \cdot 3\text{H}_2\text{O}$. Показано, что нагрев $\text{NaHSeO}_3 \cdot 3\text{H}_2\text{O}$ сначала сопровождается дегидратацией соли с послед. превращением NaHSeO_3 в $\text{Na}_2\text{Se}_2\text{O}_5$; последний при дальнейшем повышении темп-ры плавится конгруэнтно, а затем превращается в Na_2SeO_3 . Определены т-ры указанных переходов. В калориметре с изотермич. оболочкой при 25° измерена интегральная теплота р-рения в воде кристаллич. соли $\text{NaHSeO}_3 \cdot 3\text{H}_2\text{O}$. С помощью полученных данных вычислена ее стандартная теплота образования из простых в-в ($-393,1 \pm 0,3$ ккал/моль).

Автореферат

(T_m)

$\text{NaHSeO}_3 \cdot 3\text{H}_2\text{O}$

(ΔH_f)

1969

x 1969. 21

349

1969

BP-4260-X

3H₂ONa HSeO₃

54374j Physicochemical study of sodium hydrogen selenite trihydrate. Roshchina, Z. V.; Selivanova, N. M.; Anan'ina, M. S. (Mosk. Khim.-Tekhnol. Inst. im. Mendeleeva, Moscow, USSR). *Izv. Vyssh. Ucheb. Zaved., Khim. Khim. Tekhnol.* 1969, 12(5), 535-8 (Russ). From thermographic studies of the heating of NaHSeO₃.3H₂O (I), endothermic effects are noted at 48, 85, and 352°. At 48°, I loses H₂O of crystn., and the anhyd. salt dissolves in this H₂O to yield, at 50°, a clear soln. At 85°, the loss of H₂O is complete and pyro selenite is produced according to: $2\text{NaHSeO}_3 = \text{Na}_2\text{Se}_2\text{O}_5 + \text{H}_2\text{O}$. Na₂Se₂O₅ m. 352° and decomp. as follows above 550°: $\text{Na}_2\text{Se}_2\text{O}_5 = \text{SeO}_2 + \text{Na}_2\text{SeO}_3$. The heat of soln. of I in H₂O (at a concn. of 1/800) is 7.32 ± 0.01 kcal./mole. This value, and that for NaHSO₃, indicate the heat of hydration of NaHSO₃ to be -5.9 ± 0.02 kcal./mole. The heat of formation of I, ΔH_{298} is -393.1 ± 0.3 kcal./mole.

C. E. Stevenson

C. A. 1969.

Y. 12

NaH₃(SeO₃)₂

B9-4108-X

1969

16 В7. Синтез и теплота образования тригидроселени-
та натрия. Рошица З. В., Селиванова Н. М.,
Алаильшина М. С. «Изв. АН СССР. Неорганические ма-
териалы», 1969, 5, № 3, 530—535

Синтезирован чистый кристаллич. $\text{NaH}_3(\text{SeO}_3)_2$ (I).
Калориметрич. путем определена стандартная теплота
образования I из простых в-в, равная $\Delta H_{298}^{\circ} =$
 $= -314,0 \pm 0,2$ ккал/моль.

Резюме

ЛНР

X 1969. 16

1969

BP-4108-X

NaH₃(SeO₃)₂

(20632z) Synthesis and heat of formation of sodium trihydrogen selenite. Roshchina, Z. V.; Selivanova, N. M.; Anan'ina, M. S. (Mosk. Khim.-Tekhnol. Inst. im. Mendeleeva, Moscow, USSR). Izv. Akad. Nauk SSSR, Neorg. Mater. 1969, 5(3), 530-5 (Russ). NaH₃(SeO₃)₂ was synthesized from concd. solns. of Na₂CO₃ and H₂SeO₃ which was boiled to expel CO₂ and then evapd. under vacuum. Calorimetric anal. of the heat effect of its reaction with Pb(NO₃)₂ lead to a value of the heat of formation of NaH₃(SeO₃)₂ from its elements of -314.0 ± 0.2 kcal./mole.

I. L. Stiff

C. A. 1969.

10.26

1969

5 Б677. Фазовые переходы в монокристаллах $\text{Na}(\text{D}_x\text{H}_{1-x})_3(\text{SeO}_3)_2$ при высоких давлениях. Shirokov A. M., Shuvalov L. A., Ivanov N. R. Phase transitions in $\text{Na}(\text{D}_x\text{H}_{1-x})_3(\text{SeO}_3)_2$ crystals under high pressure. «Phys. Letters», 1969, A29, № 9, 559—560 (англ.)

Исследована фазовая диаграмма в координатах P (давление), x (состав) и T (температура) монокристаллов $\text{Na}(\text{D}_x\text{H}_{1-x})_3(\text{SeO}_3)_2$ в диапазоне до 5 кбар и до -100° . Границы фаз определялись по диэлектрич. измерениям. Обнаружено исчезновение сегнетоэлектрич. γ -фазы и появление новой δ -фазы при давл., больших 2,5 кбар. Фазовые границы новой фазы имеют наклон $-0,7$ град/кбар и $+0,20$ град/кбар на плоскости P, T при $0,1 < x < 0,5$. Исследования показали отсутствие сегнетоэлектрич. св-в (петли диэлектрич. гистерезиса и амплитудной зависимости диэлектрич. проницаемости) у новой фазы. Обсуждается вопрос типов Н-связи в указанных кристаллах в связи с изотопич. эффектом.

А. З. Рабинович

Б69

Х. 1970.5

NaH₃(SeO₃)₂

BP-5385-X

1970

80520k Anomalous specific heat of sodium trihydrogen selenite. Abraham, D. B.; Lieb, E. H.; Oguchi, T.; Yamamoto, T. (Dep. Math., Massachusetts Inst. Technol., Cambridge, Mass.). *Progr. Theor. Phys.* 1970, 44(4), 1114-16 (Eng). An exact solution is presented of the combinatorial problem posed by Y. Makita, et al. (1970), in their theory of the anomalous sp. heat of NaH₃(SeO₃)₂. The residual entropy per H₃(SeO₃)₂⁻ ion is $S = k[\log W] = k[0.94701390]$, where k = Boltzmann's const., and W = the statistical mech. probability of the equil. state. Comparison is made with results obtained for ice.

DWJN

C.A. 1971 84.16

NaH₃(SeO₃)₂

В 92-5385-Х

1970

01 E1188. Об аномальной теплоемкости тригидроген-
селенита натрия. Abraham D. B., Lieb E. H., Ogu-
chi T., Yamamoto T. On the anomalous specific heat
of sodium trihydrogen selenite. «Progr. Theor. Phys.»,
1970, 44, № 4, 1114—1116 (англ.)

С целью объяснения аномалии теплоемкости
NaH₃(SeO₃)₂ предложена модель кристаллич. структуры
этого в-ва. Рассмотрен статистич. вес различных кон-
фигураций расположения групп SeO₃ и проведен расчет
термодинамич. вероятности и энтропии для некоторых
из них. Полученные результаты сравниваются с парал-
лельно проведенными расчетами аналогичных парамет-
ров для льда.

Б. Е. Зиновьев

Ф. 1970 г. 16

$\text{Na}_2\text{Te}_2\text{S}_3$, Na_2TeS_4 , $(\text{Tm})^{10}$ 1970
 Na_2SeS_3 , Na_2SeS_4 ± 6680

Джакембайрзеб А.А., Масиев Б.Н.,
Метров Е.А.,

Исп. членка академ. обозр., Акад. Наук
Каз. ССР, 1970, 39, 25-33 (русск.)

Флюо-сольв синтез в междисципл.

Б (9) 8 еері ф.к.
СА, 1971, № 4, N18, 93873j

NaH₃(SeO₃)₂

B9-5262-X

1970

S
298

1 Б739. Остаточная энтропия $\text{NaH}_3(\text{SeO}_3)_2$. Fuchi-
kami Nobuko, Oguchi Takehiko. Residual ent-
ropy of $\text{NaH}_3(\text{SeO}_3)_2$. «Prog. Theor. Phys.», 1970, 44,
№ 6, 1500—1508 (англ.)

Оценена остаточная энтропия неупорядоченных атомов
водорода в $\text{NaH}_3(\text{SeO}_3)_2$. Результаты расчетов на основе
матричного метода Либа и метода разложения в ряды
Нэгга согласуются между собой. П. М. Чукров

X. 1972. 1

NaH₃(SeO₃)₂

BP-5262-X

1970

68554s) Residual entropy of NaH₃(SeO₃)₂. Fuchikami,
Nobuko; Oguchi, Takehiko (Dep. Phys., Tokyo Metrop. Univ.,
Tokyo, Japan). *Progr. Theor. Phys.* 1970, 44(6), 1500-8 (Eng).

The residual entropy owing to disordered H atoms in NaH₃(SeO₃)₂ is evaluated by 2 different methods. First, Lieb's transfer matrix method is applied to the system consisting of a finite no. of mols., and $\ln W = 0.947$ is obtained from the extrapolation, where $\ln W$ is the residual entropy/mole in units of the Boltzmann const. Next, Nagle's series expansion method is used to est. numerical upper and lower bounds of $\ln W$; the result is $0.94604 < \ln W < 0.94959$.

RCPQ

C.A. 1971. 24.14

БФ-4779-X

1970

NH₃(SeO₃)₂

10 E719. Аномалии теплоемкости и изменение конфигурационной энтропии в NaH₃(SeO₃)₂. Makita Yasu-hagi, Miki Higohumi. Anomalous specific heat and configurational entropy change in sodium trihydrogen selenite. «J. Phys. Soc. Jap.», 1970, 28, № 5, 1221—1227 (англ.)

Теплоемкость $\text{NaH}_3(\text{SeO}_3)_2$ и дейтерированного кристалла измерена вблизи т-р превращений. Измерения энтропии в верхней и нижней точках фазовых переходов равны $1,03 \pm 0,05$ и $\sim 0,5$ кал/моль·град. Для $\text{NaD}_3(\text{SeO}_3)_2$ имеет место одно превращение с энтропией, равной $1,58 \pm 0,09$ кал/моль·град. Результаты эксперимента сопоставлены с расчётами по разным моделям.
Библ. 19.

09. 1970

• 108

NaH₃(SeO₃)₂

В9-4779-X

1870

NaH₃(SeO₃)₂

22 Б839. Аномальная теплоемкость и изменение конфигурационной энтропии для $\text{NaH}_3(\text{SeO}_3)_2$. Nakita Yasuharu, Miki Higohumi. Anomalous specific heat and configurational entropy change in sodium trihydrogen selenite. «J. Phys. Soc. Jap.», 1970, 28, № 5, 1221—1227 (англ.)

Измерена теплоемкость в области фазовых переходов $\text{NaH}_3(\text{SeO}_3)_2$ (I) (между -15° и 0°) и $\text{NaD}_3(\text{SeO}_3)_2$ (II) (между -75° и 0°). Для I энтропия первого превращения в области -180° , оценена методом ДТА и равна $\sim 0,5$ э. е.; энергия второго превращения, при -79° , равна $1,03 \pm 0,5$ э. е.; суммарная энтропия ΔS (I) ≈ 153 э. е. II имеет одно превращение, однако на кривой теплоемкости оно представлено сдвоенным пиком, лежащим при $-2,5^\circ$.

Cp
фаз. переходы

X · 1870

· 22

ΔS (II) = 1,58 э. е. Фазовые переходы I и II, связанные с разупорядочением низкот-рной ферроэлектрич. фазы, трактуются на основании предложенной авторами модели распределения водородных связей в слоистой структуре I; в хорошем согласии с экспериментом вычислено возрастание конфигурац. энтропии, равное 1,59 э. е. Вычисление методом Полинга дает величину 2,18 э. е.

В. Соколов

Na₆H₄(SeO₄)₅

БГР-Х-5335

1980

Na₆H₄(SeO₄)₅

·H₂O

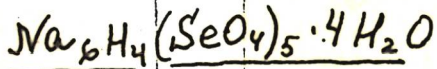
(ΔH_f)

11 Б687. Термодинамические характеристики кислых селенатов натрия $\text{Na}_6\text{H}_4(\text{SeO}_4)_5 \cdot 4\text{H}_2\text{O}$ и $\text{Na}_6\text{H}_4(\text{SeO}_4)_5$. Соболь Л. Г., Селиванова Н. М. «Тр. Моск. хим.-технол. ин-та им. Д. И. Менделеева», 1970, вып. 67, 5—7

В калориметре с изотермич. оболочкой при 25° измерены тепловые эффекты р-ций с участием крист. солей $\text{Na}_6\text{H}_4(\text{SeO}_4)_5 \cdot 4\text{H}_2\text{O}$ и $\text{Na}_6\text{H}_4(\text{SeO}_4)_5$. С помощью полученных и лит. данных вычислены стандартные теплоты образования для $\text{Na}_6\text{H}_4(\text{SeO}_4)_5$ $\Delta H^{\circ}_{298} = -1044,7 \pm 0,9$ и для $\text{Na}_6\text{H}_4(\text{SeO}_4)_5 \cdot 4\text{H}_2\text{O}$ $\Delta H^{\circ}_{298} = -1337,8 \pm 1,0$ ккал/моль.

Резюме

X · 1981 · 11



1970

81063W) Heats of formation of hexasodium hydrogen selenate tetrahydrate [Na₆H₄(SeO₄)₅ · 4H₂O] and hexasodium hydrogen selenate [Na₆H₄(SeO₄)₅]. Sobol, L. G.; Selivanova, N. M. (USSR). *Tr. Mosk. Khim.-Tekhnol. Inst.* 1970, No. 67, 5-7 (Russ). The std. heat of formation of Na₆H₄(SeO₄)₅ · 4H₂O (I) and its corresponding anhyd. salt is detd. by a calorimeter with an isothermal jacket at 25°. I was obtained by mixing the concd. aq. soln. of Na₂CO₃ with H₂SeO₄ in stoichiometric quantity. The soln. was boiled to remove CO₂ and then evapd. till the crystals pptd. out. Anhyd. Na₆H₄(SeO₄)₅ crystals were obtained by careful heating of I at 150° till a const. wt. was reached. The std. heat of formation of these two was detd. The heat of soln. in water for Na₆H₄(SeO₄)₅ and for I was -23.50 ± 0.03 and -3.19 ± 0.02 kcal/mole, resp.

Kamal Srinivasan

C.A. 1971. 45.12

Na₂Se₂O₇

ВФХ-5136

1970

8 Б650. Термодинамика образования пироселената натрия ($\text{Na}_2\text{Se}_2\text{O}_7$). Соболь Л. Г., Селиванова Н. М. «Изв. высш. учебн. заведений. Химия и хим. технол.», 1970, 13, № 12, 1728—1732

В калориметре с изотермич. оболочкой при 25° измерены тепловые эффекты след. р-ций: $\text{Na}_2\text{Se}_2\text{O}_7$ (крист.) + $+ 2\text{Pb}(\text{NO}_3)_{2\text{aq}, 800} + \text{H}_2\text{O}$ (жидк.) = 2PbSeO_4 (крист.) + $+ 2\text{NaNO}_{3\text{aq}, 800} + 2\text{HNO}_{3\text{aq}, 800}$; $\text{Na}_2\text{Se}_2\text{O}_7$ (крист.) + $+ 2\text{NaOH}_{\text{aq}, 800} = 2\text{Na}_2\text{SeO}_{4\text{aq}, 800} + \text{H}_2\text{O}$ (жидк.); $\text{Na}_2\text{Se}_2\text{O}_7$ (крист.) + H_2O (жидк.) = $2\text{NaHSeO}_{4\text{aq}, 800}$. С помощью полученных данных вычислена по Гессу стандартная теплота образования из простых в-в $\text{Na}_2\text{Se}_2\text{O}_7$ (крист.):

$$\Delta H_{298}^0 = -322,8 \pm 1,0 \text{ ккал/моль.}$$

Автореферат

ДНГ

X. 1971. 8

ВФ-5324-Х

1970

Na₄H₆(SeO₄)₅

→ 11 Б686. Термодинамика образования кислого селената натрия Na₄H₆(SeO₄)₅. Селиванов А. М., Соболь Л. Г. «Тр. Моск. хим.-технол. ин-та им. Д. И. Менделеева», 1970, вып. 67, 3—5

В калориметре с изотермич. оболочкой при 25° измерены теплоты ф-ций с участием Na₄H₆(SeO₄)₅ (крист.) (I). С помощью полученных и лит. данных вычислены стандартные теплоты образования: I $\Delta H^{\circ}_{298} = -929,9 \pm 1,0$ и I_{aq. 4000} $\Delta H^{\circ}_{298} = -951,2 \pm 1,1$ ккал/моль.

Резюме

ΔH_f

X· 1981· 11

$\text{Na}_4\text{H}_6(\text{SeO}_4)_5$

1940

(ΔH_f)

81064 Heat of formation of tetrasodium hydrogen selenate
[$\text{Na}_4\text{H}_6(\text{SeO}_4)_5$]. Selivanova, N. M.; Sobol, I. G. (USSR).
Tr. Mosk. Khim.-Tekhnol. Inst. 1970, No. 67, 3-5 (Russ). The
std. heat of formation of $\text{Na}_4\text{H}_6(\text{SeO}_4)_5$ in aq. soln. is detd. by
measuring the heat effect of the reaction $\text{Na}_4\text{H}_6(\text{SeO}_4)_5 +$
 $5\text{Pb}(\text{NO}_3)_2 = 5\text{PbSeO}_4 + 4\text{NaNO}_3 + 6\text{HNO}_3$ (1) and $\text{Na}_4\text{H}_6(\text{SeO}_4)_5 + \text{aq.} = \text{Na}_4\text{H}_6(\text{SeO}_4)_5$ in soln. (2) in a calorimeter
with an isothermal jacket at 25° by an elec. compensating ther-
mometer. Radiation correction is applied. $\text{Na}_4\text{H}_6(\text{SeO}_4)_5$ was
obtained from the soln. of anhyd. Na selenate in hot H_2SeO_4
with the ratio $\text{Na}_2\text{SeO}_4 : \text{H}_2\text{SeO}_4 = 1:3$. After cooling the soln.
the residue was washed in abs. ether and dried over P_2O_5 . Calcd.
from the data obtained gives $4\text{NaHSO}_4 \cdot \text{H}_2\text{SeO}_4 \Delta H^\circ 298 =$
 -950.8 kcal/mole which nearly agrees with the value for $\text{Na}_4\text{H}_6(\text{SeO}_4)_5$.

Kamal Srinivasan

C.A. 1941 45.12

ВФ-4710-Х

1970

Na
Se
O₅

18 В166. Термическая устойчивость кислых селенитов
натрия. Селиванова Н. М., Рощина З. В.,
Анальшина М. С., Хуторянский Ф. М. «Ж. прикл.
химии», 1970, 43, № 5, 975—981

Методами ДТА и рентгенофазового анализа изучена
термич. устойчивость кислых селенитов Na состава
 NaHSeO_3 (I) и $\text{NaH}_3(\text{SeO}_3)_2$ (II). Установлено, что I в
интервале т-р 80—130° разлагается с образованием $\text{Na}_2\text{Se}_2\text{O}_5$ (III) и H_2O . Т. пл. III 343°. III разлагается при
615° с образованием Na_2SeO_3 (IV). Окончательное разло-
жение IV до Na_2O наблюдается при 1100°. Разложение
II протекает в интервале 80—300° по схеме II→III+
+3 SeO_2 +3 H_2O . Дальнейшее разложение образующегося
III идет также по выше описанной схеме. Приведены
схемы порошковых рентгенограмм всех полученных сое-
динений.

М. Б. Варфоломеев

X 1970. 18

Na₂Se₂O₄

1970

11134w Heat of formation of sodium pyroselenate ($\text{Na}_2\text{Se}_2\text{O}_7$).
Sobol, L. G.; Selivanova, N. M. (Mosk. Khim.-Tekhnol. Inst. im. Mendeleeva, Moscow, USSR). *Izv. Vyssh. Ucheb. Zaved., Khim. Khim. Tekhnol.* 1970, 13(12), 1728-32 (Russ.). The std. heat of formation, ΔH_{298} of cryst. $\text{Na}_2\text{Se}_2\text{O}_7$ (I) from simple substances is -322.8 kcal/mole as detd. by reaction of $\text{Na}_2\text{Se}_2\text{O}_7$ with $\text{Pb}(\text{NO}_3)_2$. X-ray data were used to confirm purity.

C. E. Stevenson

ΔH_f

C. d. 1971 452.

NaH₃(SeO₃)₂

1941

68553r) Anomalous specific heat of sodium trihydrogen selenite-associated combinatorial problem. Abraham, Douglas B.; Lieb, Elliott H. (Dep. Math., Massachusetts Inst. Technol., Cambridge, Mass.). *J. Chem. Phys.* 1971, 54(4), 1446-50 (Eng). The exact soln. is presented of a lattice statistical problem posed by Makita and Miki in their theory of the anomalous specific heat of the ferroelec. NaH₃(SeO₃)₂. A comparison is given between exptl. and calcd. entropies. RCJQ

G, SO

C.A.1941.24.14

Te₂ NaSCH₆

(NH₄)₂ NaSCH₆

Tm

Chassaigne Y.

1971

C. R. Acad. Sci,

1971, C242, N^o 2, 209.



(See Sc-Te) I

Na^+ -смеси | BP-7611-8 | 1972

Klushina T.V., Karapet'yants M.Kh.

ΔH_f° ,
 ΔG_f° ; Izv. Vyssh. Ucheb. Zaved., Khim.
S Khim. Tekhnol. 1972, 15, 1444-9.

[ав $\text{Li}^+ \text{Se}]_I$

$\text{Na}_2\text{SeO}_3 (\Delta H_m)$

± 7343

1972

Малышев В. П.

Ж. хим. пром., 1972, № 2411-2412

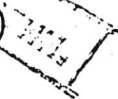
Термокинетический метод определения
стехиометрических конфигураций
при ступенчатом диссоциировании.

РХИУм, 1973

25770

5

СБ



1972

$\text{NaH}_3(\text{SeO}_3)_2$

165985 X-ray diffraction study of the upper phase transition in sodium trihydrogen selenite. Miki, Hirohumi (Fac. Sci., Univ. Tokyo, Tokyo, Japan). *J. Phys. Soc. Jap.* 1973, 34(5), 1314-17 (Eng). X-ray diffraction from $\text{NaH}_3(\text{SeO}_3)_2$ was measured together with addnl. optical observation of domains. The square root of integrated intensity of (5/2 5/2 0) reflection as a function of temp. is approx. proportional to the spontaneous polarization along the [101] direction, $P_{[101]}$. The unit cell parameters measured at 183°K (in phase II) are $a = 20.32$, $b = 9.592$, $c = 5.759\text{\AA}$, $\alpha = 89^\circ 53'$, $\beta = 91^\circ 7'$, $\gamma = 90^\circ 20'$, with $Z = 8$ and the space group is $P1$. The present results suggest that the upper phase transition in $\text{NaH}_3(\text{SeO}_3)_2$ may be not regarded as a typical order-disorder type. Discussions are shortly given for the result obtained.

copy
hepex.

C. d. 1973. 78 Na²⁶

NaD₃(SeO₃)₂
3 3/2

19 Б433. Кристаллическая структура сегнетоэлектрика дейтерированного тригидроселенита натрия при комнатной температуре. Рао Мохана Дж. К. «Кристаллография», 1972, 17, № 3, 494—501

1972

Дейтерированный тригидроселенит натрия NaD₃(SeO₃)₂ — сегнетоэлектрик с т-рой перехода $-2,5^\circ$, кристаллизуется в монокл. системе, при комн. т-ре $a = 5,787$ (5), $b = 4,844$ (5), $c = 11,794$ (10) Å, $\beta = 118,4$ (1,0)°, $Z = 2$. Структура определена методом тяжелого атома и уточнена до $R = 10,2\%$. Ионы Na имеют октаэдрич. координацию ($\text{Na} = 0,241$ —2,47). В SeO_3^{2-} атом Se стоит на 0,77 Å от плоскости атомов O, селенит-ионы не имеют идеальной симметрии $3(\text{Se}—\text{O})$ 1,68—1,72. Кроме трех ковалентно-связанных атомов O атом Se

X. 1972. 19

координирует еще три атома О, на расстояниях, меньших вандер-ваальсова (3,4 \AA). Эти шесть атомов О образуют искаженный октаэдр. В структуре имеются две системы связей O—D...O длиной 2,60 и 2,66 \AA . Шесть водородных связей образуют замкнутую петлю и эти связи приблизительно перпендикулярны направлению диэлектрич. аномалии (ось с). Автореферат

40617.4390

Ch, TC, Ph, MGU

76237.02

1972

 $Na(DH)_3(SeO_3)_2$

xy 5534

Shuvalov L.A., Shirokov A.M., Ivanov
 N.R., Baranov A.I., Kirpichnikova L.F.,
 Schagina N.M. Phase diagram of $Na(D_{x}$
 $H_{1-x})_3(SeO_3)_2$ system vs concentration,
 temperature, field and pressure.

"J. phys" (France), 1972, 33, N 4, suppl.,
 165-167 (энгл., раз. франц.)

107 109

0

0131 СИК ВИНИТИ

1972

 NaHSeO_3 ; $\text{Na}_2\text{Se}_2\text{O}_5$

169541c Standard thermodynamic functions and kinetics of sodium hydrogen selenite decomposition. Shkodin, V. G.; Buketov, E. A.; Astrakhantsev, E. G.; Desyatnik, V. N. (Ural. Politekh. Inst., Sverdlovsk, USSR). *Izv. Vyssh. Ucheb. Zaved., Tsvet. Met.* 1972, 15(4), 81-4 (Russ). From microcalorimetric measurements the following data were obtained for NaHSeO_3 : heat of decompn. 6.65 kcal/mole, std. heat of formation ΔH_{298}° - 181.353 kcal/mole, and entropy S_{298}° 26.23 cal/mole degree; and for $\text{Na}_2\text{Se}_2\text{O}_5$ heat of fusion 5.89 kcal/mole, ΔH_{298}° - 291.515 kcal/mole, S_{298}° 44.50 cal/mole degree, and heat capacity C_p $44.56 + 0.134T$ cal/mole degree. The kinetics of NaHSeO_3 decompn. was studied by DTA. The decompn. reaction is governed by the equation $\alpha = 1 - \exp[1090\tau^{0.69} \exp(-4720/T)]$, where τ is time and T the temp. The activation energy was estd. as 9350 kcal/mole.

J. Hala

B9P-7355-X

C.A. 1972.77 N26

NaHSO_3 ; $\text{Na}_2\text{Se}_2\text{O}_5$

1972

3 Б688. О стандартных термодинамических функциях и кинетике разложения биселенита натрия. Шкодин В. Г., Букетов Е. А., Астраханцев Е. Г., Десятник В. Н. «Изв. высш. учеб. заведений. Цвет. металлургия», 1972, № 4, 81—84

Микрокалориметрически определены теплоты разл. NaHSO_3 (I) и плавления $\text{Na}_2\text{Se}_2\text{O}_5$ (II), составившие 6,65 и 5,89 ккал/моль соотв. На основании термографич. данных и результатов исследований в равновесных условиях найдены станд. (298,15° К) термодинамич. функции: ΔH° (I) = —181,353, ΔH° (II) = —291,515 ккал/моль, S° (I) = $26,23 \pm 1,02$, S° (II) = 44,50 э. е.

Резюме

Х. 1973 № 3

NaH₃(SeO₃)₂

X - 8060

1973

б Б635. Протонно-конфигурационная энтропия
 $\text{NaH}_3(\text{SeO}_3)_2$. Ishibashi Yoshihiro, Takagi Yutaka. The proton-configurational entropy of $\text{NaH}_3(\text{SeO}_3)_2$. «J. Phys. Soc. Jap.», 1973, 35, № 3, 814—817
(англ.)

Проведены расчеты энтропии $\text{NaH}_3(\text{SeO}_3)_2$ с точки зрения крист. симметрии этого соединения. Подробно рассмотрены протонные конфигурации, определяемые след. условиями: а) каждая H-связь имеет один и только один протон, б) каждая группа SeO_3 имеет один или два протона; в) пара ионов $\text{SeO}_3-\text{SeO}_3$ имеет только три протона. Проведенные расчеты энтропий структурных схем, построенных на основании вышеприведенных условий, показали, что полученные значения энтропии соединения существенно ниже экспериментально определенных. Рассмотрены нек-рые пути усовершенствования структурных представлений о $\text{NaH}_3(\text{SeO}_3)_2$.

С. А. Ивашин

расчеты
ЭИГ/скан

X.1974 N 6

$\text{NaH}_3(\text{SeO}_3)_2$

X - 8060

1973

(S°)

108815q Proton-configurational entropy of sodium trihydrogen selenite (STHS). Ishibashi, Yoshihiro; Takagi, Yutaka (Fac. Eng., Nagoya Univ., Nagoya, Japan). *J. Phys. Soc. Jap.* 1973, 35(3), 814-17 (Eng). The validity of previous entropy calcns. of STHS is reexamd. from the viewpoint of crystal symmetry. The approx. entropy $k \cdot \ln(5/4)$ (k = Boltzmann const.) per mol., expected on the Makita conditions, is too small as compared with the exptl. data. It is shown that the previous calcns. based upon an implicitly loosened condition are applicable to STHS if a suitable transference of bond assignment is admitted.

C.A. 1973, 79 N12

✓

$\text{NaH}_3(\text{SeO}_3)_2$

1973

(T_{Tz})

140726x Phase transformations in sodium trihydroselenite crystals irradiated by a large dose of γ -radiation. Peshikov, E. V.; Shuvalov, L. A. (Inst. Yad. Fiz., Tashkent, USSR). *Kristallografiya* 1973, 18(4), 796-9 (Russ). After irradn. with γ -rays of 120 MR, ferroelec. $\text{NaH}_3(\text{SeO}_3)_2$ underwent, near the Curie temp., a phase transition to the monoclinic γ -phase instead of to the triclinic β -phase. The latter transition is exhibited by the nonirradiated crystals. The study showed that γ -irradn. can change the nature of the elec. ordering in crystals.

CA1973

79, N24

NaHSeO₄

X-4998

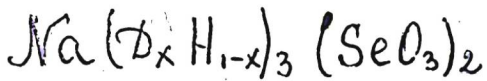
1973

(ΔH_f⁰₂₉₈)

41621y Heat of formation of sodium hydrogen selenate (NaHSeO_4). Sobol, L. G.; Selivanova, N. M. (Mosk. Khim.-Tekhnol. Inst. im. Mendeleeva, Moscow, USSR). Izv. Vyssh. Ucheb. Zaved., Khim. Khim. Tekhnol. 1973, 16(10), 1493-5 (Russ). The heat of formation, ΔH_{f}° , of NaHSeO_4 was -201.3 ± 0.2 kcal/mole by calen. from calorimetric measurements of the heat of reaction ($\sim 6.55 \pm 0.03$ kcal/mole) for the reaction $\text{NaHSeO}_4 + \text{BaCl}_2 = \text{BaSeO}_4 + \text{NaCl} + \text{HCl}$ and for the heat of soln. (-1.936 ± 0.008 kcal/mole) of crystalline NaHSeO_4 in H_2O . Soln. concns. were 1 mole compd. 800 moles H_2O .

C. E. Stevenson

C.A. 1974.80.18



1973

(T_{t2})

129600k Effect of an electrical field on phase transitions in sodium deuterium hydrogen selenite ($\text{Na}(\text{D}_x\text{H}_{1-x})_3(\text{SeO}_3)_2$) crystals. I. β -phase induced by the field E_y in crystals with $x > 0.3$. Shuvalov, L. A.; Shirokov, A. M.; Ivanov, N. R.; Baranov, A. I. (Inst. Kristallogr., Moscow, USSR). *Kristallografiya* 1973, 18(1), 133-7 (Russ). The formation of the triclinic ferroelec. phase (β -phase) in $\text{Na}(\text{D}_x\text{H}_{1-x})_3(\text{SeO}_3)_2$ (I) ($x > 0.3$) can be induced by applying an elec. field (E_y) along the y -axis of I crystals. The temp. of the induced phase transition increases with x . The curve of E_y as a function of temp. (-90 to -50°) shows 2 max. attributed to transitions, 1st (lower temp.) to the β -phase and then to the γ -phase. These phases have ferroelec. and antiferroelec. ordering, resp., along the y axis.

C.A. 1973.78 N20

$\text{Na}_2\text{Se}_2\text{O}_5$

ВФ-7682-Х

1973

15 Б856. Термическое поведение биселенита натрия.
Шкодин В. Г., Ахметова Г. Л., Ахметов С. Ф.
«Изв. высш. учеб. заведений. Цвет. металлургия», 1973,
№ 1, 104—107

Методами ДТА, кристаллооптич., гравиметрич., рентгенофазовым и хим. изучено поведение биселенита натрия NaHSeO_3 (I) при нагревании в нейтр. атмосфере. Установлено, что переход I \rightarrow $\text{Na}_2\text{Se}_2\text{O}_5$ (II) в кинетич. условиях заканчивается при $120-130^\circ$. Разложение II по схеме II=I+ SeO_2 начинается после плавления соли ($380-400^\circ$) и заканчивается в условиях непрерывного нагревания при т-рах около 700° . Образующийся нормальный селениит натрия претерпевает полиморфные превращения в соответствии с ранее проведенными исследованиями.

Резюме

Х. 1973 №15

SeO_3^{2-} (cub. noem.)

1973

$\text{Na}(\text{H}_{1-x}\text{D}_x)_{1/3}(\text{SeO}_3)_2$ (Ttr)

~~1973~~

X-7898

Torrie B.H.,

Can. J. Phys., 1973, 51, N6, 610-15 (anee.)

Raman and infrared spectra
of disodium selenite, sodium
hydrogen selenite, dihydrogen sele-
nite, and sodium trihydrogen se-
lenite.

EG 18 p. II

10

(P)

CA, 1973, 78, N22, 1420094

$\text{NaH}_3(\text{SeO}_3)_2$

1974

9 Б415

Рентгенографическое исследование фазовых переходов в кристаллах тригидроселенитов натрия, рубидия и калия. Акиназаров С. Х., Шехтман В. Ш., Шувалов Л. А. «Кристаллография», 1974, 19, № 6, 1291—1293

(T_{tr})

Проведено рентгенографич. исследование (методы Лауэ и вращения, съемки при низких т-рах вплоть до т-ры Кюри T_c и ниже) структурных изменений при фазовых переходах в кристаллах $\text{NaH}_3(\text{SeO}_3)_2$ (I), $\text{NaD}_3(\text{SeO}_3)_2$ (II), $\text{RbH}_3(\text{SeO}_3)_2$ (III), $\text{RbD}_3(\text{SeO}_3)_2$ (IV) и $\text{KH}_3(\text{SeO}_3)_2$ (V). Для кристаллов I—IV при т-рах ниже T_c наблюдалось удвоение периодов b (а для I также и a), что однозначно доказывает несобственный тип сегнетоэлектрич. фазового перехода в этих кристаллах. При охлаждении V умножение параметров ромбич. решетки ($Pbca$) не наблюдалось, однако, имело место расщепление дифракц. пятен, свидетельствующее о возникновении структурных (трансформац.) доменов. Для низкот-рой фазы V предпо-

х. 1975. № 9

+2

☒

лагается монокл. или даже трикл. симметрия; вопрос о том, является ли эта фаза сегнето-, антисегнето-электрич. или же сегнетоэластич. остается открытым.

С. В. Соболева

$\text{NaH}_3(\text{SeO}_3)_2$

1974

$\text{RbH}_3(\text{SeO}_3)_2$; $\text{KH}_3(\text{SeO}_3)_2$

66479n X-ray diffraction study of phase transitions in sodium, rubidium, and potassium trihydroselenite crystals. Aknazarov, S. Kh.; Sinekhtman, V. Sh.; Shuvalov, L. A. (Inst. Fiz. Tverd. Tela, Chernogolovka, USSR). *Kristallografiya* 1974, 19(6), 1291-3 (Russ). X-ray diffraction data of $\text{NaH}_3(\text{SeO}_3)_2$, $\text{NaD}_3(\text{SeO}_3)_2$, $\text{RbH}_3(\text{SeO}_3)_2$, $\text{RbD}_3(\text{SeO}_3)_2$, and $\text{KH}_3(\text{SeO}_3)_2$ at room temp. and temps. below the Curie point (T_c) are given. Below T_c , a doubling of periods a and b for $\text{NaH}_3(\text{SeO}_3)_2$ and b period for $\text{NaD}_3(\text{SeO}_3)_2$ and both Rb compds. are obsgd. showing an improper type of piezoelectric transition; in these compds. For $\text{KH}_3(\text{SeO}_3)_2$, no multiplication of parameters is obsgd. Below T_c ; some splitting showing a formation of structural domains is noted.

K. Volka

C.A 1975 82 N 10

72 18

$\left[\text{Na}(\text{D}_x\text{H}_{1-x})_3 (\text{SeO}_3)_2 \right]$ (Ter) 1974.
 \bar{x} 8721

Кириков В.А., Шубайдов д.д.,
Желтухин И.С.,

Кристаллография, 1974, 19(3),
650-2.

Низкотемпературный фазовый
переход в кристаллах $\left[\text{Na}(\text{D}_x\text{H}_{1-x})_3 (\text{SeO}_3)_2 \right]$

С.А. 1974. 81 № 12. 69517Р.

Б(9) 5

$\text{NaH}_3(\text{SeO}_3)_2$

ВФ-8663-Х

1974

⑤ 19 Б724. Диэлектрические, упругие и пьезоэлектрические свойства кристаллов $\text{NaH}_3(\text{SeO}_3)_2$ вблизи α - β перехода. Sorg e G., Schmid t G., Kitz M. Dielectric, elastic, and piezoelectric properties of $\text{NaH}_3(\text{SeO}_3)_2$ crystals near the α - β transition. «Phys. status solidi (a)», 1974, 21, № 2, 463—468 (англ.; рез. нем.)

(T_{tr})

В области α - β превращения ($T_c = -78,6^\circ$) измерены диэлектрич. константы ϵ_x и ϵ_y , упругие постоянные s_{11} и s_{22} и пьезоэлектрич. константа d_{12} для кристалла $\text{NaH}_3(\text{SeO}_3)_2$ (I). В сегнетоэлектрич. фазе β -I наблюдались большие значения $\epsilon \approx 10^4$ и диэлектрич. потерь ($\operatorname{tg} \delta \approx 0,3$) при частоте 100 кгц. В полях, достаточных для подавления процессов образования доменов, ϵ_x и ϵ_y скачком уменьшались. Обнаружен также небольшой, но отчетливый гистерезис. Вблизи T_c наблюдались аномалии s_{11} , s_{22} и d_{12} . Характер зависимости T_c от поля свидетельствует об отсутствии нового перехода при увеличении поля.

С. Ш. Шильштейн

X. 1974 N 19

ВР 8458-Х

1974

 $\text{NaH}_3(\text{SeO}_3)_2$

23 Бб23. Влияние гидростатического сжатия на а— β -переход в $\text{NaH}_3(\text{SeO}_3)_2$. Sorge G., Frenzel Ch. Influence of hydrostatic pressure on the а— β transition of $\text{NaH}_3(\text{SeO}_3)_2$. «Phys. status solidi (a)», 1974, 23, № 1, К67—К71 (англ.)

Проведено исследование диэлектрич. проницаемостей ϵ_x и ϵ_y для образца $\text{NaH}_3(\text{SeO}_3)_2$ (I) при гидростатич. сжатии до 1200 атм и т-рной зависимости гидростатич. коэф. электрострикции Q_h . Использованы образцы толщиной около 0,7 мм и площадью $2,5 \times 4,5 \text{ мм}^2$, для x -срезов и толщиной 0,8 мм и площадью $2,5 \times 7,4 \text{ мм}^2$ для y -срезов; их емк. были равны соотв. 11,5 пф и 15 пф при коми. т-ре. Амплитуда переменного поля частотой 10 кгц была равна соотв. 1,43 и 1,45 в/см. Получены т-рные зависимости диэлектрич.

(Ttr)

x. 1974. N 23

проницаемости x и y для различных давлений. Найдено, что I испытывает фазовый переход при т-ре $T_{пер} = 194^\circ\text{K}$. Изменение т-ры перехода линейно зависит от гидростатич. давления и составляет $dT_{пер}/dp = -(1,26 \pm 0,7) \times 10^{-3}$ град/атм. Эти данные хорошо согласуются с эксперим. результатами др. авторов. Рассмотрена зависимость от давл. фазового перехода $\alpha - \beta$ в I, и из наклона прямых $1/e_x(p)$ вычислен гидростатич. коэф. электрострикции. Сравнение величины этого коэф. с соотв-щим значением, полученным в теории Гинзбурга-Девоншира для простых сегнетоэлектриков показало, что эта теория, по-видимому, не верна для (I).

А. П. Додокин

1974

 $\text{NaH}_3(\text{SeO}_3)_2$

128415d Model of phase transitions in sodium trihydrogen selenite. Vaks, V. G.; Zein, N. E. (I. V. Kurchatov Inst. At. Energy, Moscow, USSR). *Ferroelectrics* 1974, 6(3-4), 251-62 (Eng). Methods developed in the theory of KII_2PO_4 or KDP-type ferroelecs. are applied to the $\text{NaH}_3(\text{SeO}_3)_2$ or STS-type crystals. A double-min. potential for H at the OH-bond was assumed and 2 locations of proton are described by the spin model. By using the ferroelec.-phase structure data some conclusions on parameters of the model spin Hamiltonian may be reached. Also the entropy of transition is in good agreement with expt. A β -phase structure is predicted to exist in a certain temp. range. The thermodn. of transitions was investigated on the basis of the suggested Hamiltonian by using the cluster approxn. In spite of many unknown consts., a no. of qual. results follows naturally from the suggested model. They include the existence of the intermediate β -phase, the peculiar change of polarization in the transition region, and the influence of elec. fields.

 $(T_{tr}, \alpha S_{tr})$
 ΔH_{tr}

C.A.1974. 81
N20

Na₂Se₂O₅

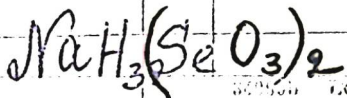
1975

P, dHf, AS
Ep

86: 161480x Dissociation pressure of sodium pyroselenite.
Shkodin, V. G.; Makhmetov, M. Kh.; Madyshev, V. P.
(Khim.-Metall. Inst., Karaganda, USSR). Deposited Doc.
1975, VINITI 976-75, 8 pp. (Russ). Avail. BLLD. The
dissocn. pressure, P , of Na₂Se₂O₅ was detd. at $T = 702\text{-}960\text{ K}$ by
the equil. dew-point method. The T dependence of P is given
by $\lg P[\text{torr}] = -7848/T + 11.118$. From the exptl. data, the std.
heat of formation, entropy, and heat capacity of Na₂Se₂O₅ were
caled. Na₂Se₂O₅ starts to dissociate with an appreciable rate at 673
K, the dissociation temp. being 952 K.

C.A. 1977. 86 v 22

1975



367560 Low-frequency spectrum and the first phase transition in sodium trihydrogen selenite. Shabanov, V. F.; Fedotov A. P. (Inst. Fiz. im. Kirenskogo, Krasnoyarsk, USSR).

Zh. Tekn. Tela (Leningrad) 1975, 17(2), 553-4 (Russ). The spectrum of single crystal at room temp. was recorded for different orientations of the crystallog. axes relative to the vector of the elec. field of the laser beam. Thus, a complete set was obtained of the frequencies of lattice vibrations which are active in Raman scattering. The results are tabulated. Below the temp. of the phase transition, the crystal becomes triclinic with the point group C_1 . Because of this a sharp change in polarization of Raman lines is the sign that the phase transition has taken place.

A. Libackyj

C.A. 1975. 83 14

Na(D_xH_{1-x})₃(SeO₃)₂

1975

140023y - Calorimetric studies of phase transitions in sodium-deuterium hydrogen selenite [Na(D_xH_{1-x})₃SeO₃)₂] system crystals. Skomorokhova, T. I.; Strukov, B. A.; Shuvalov, L. A.; Shagina, N. M. (Mosk. Gos. Univ. im. Lomonosova, Moscow, USSR). *Izv. Akad. Nauk SSSR, Ser. Fiz.* 1975, 39(5), 961-4 (Russ); Calorimetric studies of Na(D_xH_{1-x})₃(SeO₃)₂ crystals were made for $x = 8, 18$, and 19% at $100-250^\circ\text{K}$ and for $x = 0$ at $80-120^\circ\text{K}$. The heat capacity and dielec. consts. α_x and ϵ_y were measured. A substantial decrease in the $\gamma \rightarrow \beta$ phase-transition entropy change and a mild decrease for the $\gamma \rightarrow \beta'$ transition and an increase in the transition temps. were obstd. with increasing D concn. The decrease in the temp. range for the β phase with increasing x is accompanied by a decrease in the structural difference between the γ and γ' phases. The phase transitions are 1st order. The dielec. α_x and ϵ_y anomalies occur at different temps. with the ϵ_y anomaly the lowest.

J. J. Linek

C.A.1975. 83 n16

$\text{NaD}_3(\text{SeO}_3)_2$

1976

88: 114083b Study of the phase transition mechanism in sodium trideuteroselenite. Botvich, A. N. (Krasnoyarsk. Gos. Univ., Krasnoyarsk, USSR). *Mater. Vses. Nauchn. Stud. Konf., Novosib. Gos. Univ., Fiz.*, 14th 1976, 8-15 (Russ). Novosib. Gos. Univ.: Novosibirsk, USSR. Study of the Raman spectra of $\text{NaD}_3(\text{SeO}_3)_2$ above and below the ferroelec. transition temp. showed that the transition is assocd. with localization of the deuterons in 1 min of the double-well potential of the H-bond.

Tex

C.A. 1978, 28, N16

LiH_3SeO_3 , NaH_3SeO_3 , KH_3SeO_3 , 1976
 CsH_3SeO_3 (T_{fz}) BX-463

Cody C.R., Khanna R.K.

Proc. 3rd Int. Conf. High Temp. Solids,
Campinas, 1975, Paris, 1976, 1932 (ann.)
Structural phase transitions in some
metal-trihydroselenites

PHYS., 1977

○ 5(φ)

135619

$\text{NaH}_3/\text{SeO}_3$

1976

86: 130282e Vibrational spectra and particularities of the phase transitions in alkaline trihydrogen selenites. Rabkin, L. M.; Dmitriev, V. P.; Torgashev, V. I.; Shuvalov, L. A.; Shagina, N. M. (Rostov State Univ., Rostov-on-Don, USSR). *Ferroelectrics* 1976, 14(1-2), 627-9 (Eng). The Raman spectra of $\text{MH}_3(\text{SeO}_3)_2$ ($\text{M} = \text{Na}, \text{Rb}, \text{Cs}, \text{NH}_4$) were detd. at their ferroelec. phase transitions. All the crystals except $\text{NaH}_3(\text{SeO}_3)_2$ possess a static field which splits the v_3 and v_4 vibrations of SeO_3^{2-} . Se atoms in $\text{NH}_4\text{H}_3(\text{SeO}_3)_2$ and $\text{CsH}_3(\text{SeO}_3)_2$ occupy nonequiv. sites in the antipolar phase. The half widths of all internal and some external vibrations of $\text{NaH}_3(\text{SeO}_3)_2$ show a discontinuity at the phase transition temps.

Ttx

C.A. 1977-86 n18

• BX-589

1976

$\text{NaH}_3(\text{SeO}_3)_2$ (Tet)

Райкин А.Н., Дементьев В.П.,
Фомаев В.И., Ульбаков Н.А.,
Чаруша Н.Н.,

Ferroelectrics 1976, 14(1-2), 627-9

Vibrational spectra and particularities
of the phase transition
C.A. 1977, 85, N 18, 130282e

5 ④

4

NaH₃(SeO₃)₂

1976

20 Б622. Изучение фазового перехода в $\text{NaD}_3\text{-}$
 $(\text{SeO}_3)_2$ методом комбинационного рассеяния света.
Шабанов В. Ф., Федотов А. П. «Физ. твердого
тела», 1976, 18, № 6, 1508—1510

*фазов.
переход*

С помощью аргонового лазера исследованы поляризованные спектры КР моноокристалла $\text{NaD}_3(\text{SeO}_3)_2$ (I) выше и ниже точки фазового перехода T_c и проведено отнесение фундаментальных колебаний кристалла по типам симметрии. Наблюдается скачок ширины линий внутренних колебаний групп SeO_3 при переходе, что связано с упорядочением дейтонов ниже T_c . Сравнение со спектром КР $\text{NaH}_3(\text{SeO}_3)_2$ (II) указывает на одинаковую природу фазового перехода в I и 2-го перехода в II. Исходя из этого объясняется отсутствие β -фазы для дейтерированного образца.

Резюме

X, 1976, N 20

$\text{NaH}_3(\text{SeO}_3)_2$

1974

23 Б457. Нейtronографическое уточнение кристаллической структуры паразелектрика $\text{NaH}_3(\text{SeO}_3)_2$. Chom-pilpan Sajee, Tellgren Rotana, Liminga Rune. Neutron diffraction refinement of paraelectric $\text{NaH}_3(\text{SeO}_3)_2$. «Acta crystallogr.», 1977, B 33, № 7, 2108—2112 (англ.)

исслед.

статья

С целью проверки ранее высказанного предположения о характере размещения атомов H в структурном мотиве (Kaplan S. F., Kay M. I., Morosin B., Ferroelectrics, 1970, 1, 31) проведено повторное нейтронографич. (852 независ. отражений, коррекция данных на эффект поглощения и экстинкции, $\lambda = 1,210 \text{ \AA}$, МНК в анизотропном приближении, $R=0,040$) уточнение крист. структуры паразелектрич. фазы $\text{NaH}_3(\text{SeO}_3)_2$: $a = 10,3428$, $b = 4,8372$, $c = 5,7876 \text{ \AA}$, $\beta = 91,126$, ρ (выч.) 3,211, $Z=2$, ф. гр. $P2_1/n$. При уточнении структуры рассмотрены варианты статистич. размещения атомов H в связи OH. Наибольшее предпочтение отдано модели с размещением одного из H в 2 симметрично связанных, а др. в 2 не-

1974

№ 23

зависимых позициях. Параметры Н-связей в структуре: О..О 2,547 и 2,583, О—Н 1,029, 1,043 и 1,037 Å; величины углов ОНО 174,8, 177,8 и 172,9°. В целом исследуемому соединению присущи общие черты, характерные для структуры селенинов $MH_3(SeO_3)_2$ (M — щел. металл): в структурном мотиве цепи из молекул H_2SeO_3 и ионов $HSeO_3^-$ с помощью Н-связей соединяются друг с другом. Экспериментально найденные данные по структуре подтверждают известную для водородсодержащих соединений корреляц. зависимость $O-H=f(O..O)$. Статистич. характер размещения атомов Н в мотиве является следствием статистич. наложения ионно-молек. цепей, простирающихся в кристалле двух противоположных направлениях. Ранее высказанные предположения о модели структуры соединения эксперим. данными не подтверждены. И. Д. Датт

1977

$\text{NaH}_3(\text{SeO}_3)_2$

88: 43857u Neutron spectroscopic studies on the behavior of protons in the hydrogen bonds of sodium hydrogen selenite ($\text{NaH}_3(\text{SeO}_3)_2$). Palacios-Gomez, J. (Inst. Festkoerperforsch., KFA, Juelich, Juelich, Ger.). *Ber. Kernforschungsanlage Juelich* 1977, Juel-1434, 53 pp. (Ger). The phase transitions in $\text{NaH}_3(\text{SeO}_3)_2$ at -79° (I \rightarrow II) and -173° (II \rightarrow III) were studied by neutron diffraction of the H bonds. In I, the thermal amplitudes of the protons have their greatest extension in the direction of the H bond. Upon transition to II, an amplitude ellipsoid is formed and there occurs a large extension perpendicular to the H bond. At high temps. there is a quasielastic component which goes to zero at the II \rightarrow III transition but is unaffected by the I \rightarrow II transition.

Tet

C.A. 1978, 88, 116

NaH₃(SeO₃)₂ отмск №295 1978

9 Б518 Интерпретация инфракрасных спектров и спектров комбинационного рассеяния для сегнетоэлектрических фаз NaH₃(SeO₃)₂ и NaD₃(SeO₃)₂. Соду C. A., Lovitt R. C., Khanna R. K., Mil. Leg P. J. Infrared and raman spectral interpretations of the ferroelectric phases of NaH₃(SeO₃)₂ and NaD₃(SeO₃)₂. «J. Solid State Chem.», 1978, 26, № 3, 293—309 (англ.)

Fez

Измерены ИК-спектры поглощения крист. пленок NaH₃(SeO₃)₂ (I) и спектры КР ориентированных моно-кристаллов I, а также ИК-спектры и спектры КР NaD₃(SeO₃)₂ (II) в т-рном интервале 300—24° К, охватывающем область существования паразелектрич. фазы (α) ($P_{21/n}$, $Z=4$), 1-й сегнетоэлектрич. фазы (β) (P_1 , $Z=8$) и 2-й сегнетоэлектрич. фазы (γ) (P_m , $Z=4$) I, из к-рых α -фаза характеризуется неупорядоченным и β - и γ -фазы упорядоченным расположением протонов. Определены частоты внутренних и внешних колебаний в I и II, и дана общая характеристика спектров без детальной интерпретации ввиду сложности спектров для

Х-1979, №

всех фаз. Фазовый переход $\alpha \rightarrow \beta$, в I относится к переходам 2-го рода, о чем свидетельствует непрерывность изменения спектров в области T_c и отсутствие теплового гистерезиса при охлаждении. В рамках схемы уровней протона в потенциальной яме с двумя минимумами, включающей основное нетуннелирующее состояние и выше расположенное туннелирующее обсужден механизм этого перехода. В неупорядоченной α -фазе большинство протонов заселяет туннелирующий уровень, создавая симм. плотность протонов и, следовательно, более симм. крист. структуру. При т-ре T_c происходит лавинообразное заселение протонами основного нетуннелирующего состояния, приводящее к упорядочению протонов в крист. решетке. Обсуждена структура ИК-полос в области вал. кол. $\nu(\text{OH})$. Переход $\beta \rightarrow \gamma$ в II является переходом 1-го рода. Отмечено, что в II β -фазы не наблюдается.

Б. В. Рассадин

5 ВИ
ЧИЯ

NaD₃(SeO₃)₂

БФХ-1451

1048

8 Б919. Исследование $\text{NaD}_3(\text{SeO}_3)_2$ с помощью измерения квадрупольного сдвига ЯМР ^{23}Na первого порядка. Kasahara Masagi, Tatsuzaki Itagi. ^{23}Na NMR study of $\text{NaD}_3(\text{SeO}_3)_2$ by the first order quadrupole shift. «J. Phys. Soc. Jap.», 1978, 45, № 4, 1296—1301 (англ.)

С помощью изучения ЯМР ^{23}Na в $\text{NaD}_3(\text{SeO}_3)_2$ исследован сегнетоэлектрич. фазовый переход, происходящий при $T_c = -2,5^\circ$. Монокристаллы выращивались медленным охлаждением из р-ра после р-ции SeO_2 с Na_2CO_3 в D_2O . Спонтанная поляризация P_s определялась измерением пироэлектрич. заряда. Обнаружено, что абс. значения P_s и T_c зависят от предыстории образца, постоянное значение сохраняет выражение $P_s(T) = P_s(T_c)$. Т-рная зависимость градиента электрич. поля в узлах решетки, занятых Na, полученная из измерений квадрупольного сдвига 1-го порядка, указывает на наличие двух неэквивалентных позиций атомов Na в сегнетоэлектрич. фазе. Расщепление резонансных линий в этой фазе обнаруживает различное т-рное поведение при изменении направления внешнего магнитного поля. Сделан вывод, что P_s связана с вращением в плоскости ac .

Г. Л. Апарников

БФХ-1451

Tcure

д. 1949, № 3

MH₃(SeO₃)₂, M=Li, NH₄, Na, Rb, K, Cs
(T_{2g})

1978

BX-1764

Makita Yasuharu

Solid State Phys., 1978, 13, NII, 656-659
(янон.)

Фазовые превращения в триодигидратном
так цинкита именем.

DN Khn, 1979

95761

5 Ⓢ

Указ. ед.

1978

BX - 1350

$\text{Na}_2\text{SiO}_4 - \text{Na}_2\text{SeO}_4$ (gray-quarp.)

Mehrotra, B.N.,

Neues Jahrb. Mineral., Monatsh.
1978, (11), 485-90.

Stabilization of the high
temperature mode siccation in ...
C.A. 1979, 90, N4, 29322P 5

1978

$\text{NaH}_3(\text{SeO}_3)_2$

88: 181077r Dielectric properties of sodium trihydrogen selenite. Pykacz, H.; Czapla, Z.; Mroz, J. (Inst. Phys., Tech. Univ. Wroclaw, Wroclaw, Pol.). *Acta Phys. Pol. A* 1978, A53(3), 387-95 (Eng). Measurements of the permittivity and dielec. loss tangent of $\text{NaH}_3(\text{SeO}_3)_2$ crystals in a weak elec. field at acoustic frequencies and at temps. from -50 to -185° indicate the occurrence of temp. hysteresis in both the phase transitions $\beta \leftrightarrow \gamma$ and $\alpha \leftrightarrow \beta$. The effect of the measuring elec. field on elec. parameters in phase β is described. Both phase transitions appear to be 1st order.

T_{E2}

C.A. 1978, 88, 024

NaH₃(SeO₃)₂

Hz

10461

1

1

6 Б804. Изучение фазового перехода $\beta \leftrightarrow \delta$ в кристалле $NaH_3(SeO_3)_2$ методом комбинационного рассеяния света. Федотов А. П., Шабанов В. Ф., Шефер А. Д. «Физ. твёрд. тела», 1979, 21, № 11, 3483–3484

Методом КР в области 20–1000 см⁻¹, при гидростатич. давл. до 8 кбар и различных т-рах исследованы монокристаллы тригидроселенита натрия, испытывающие β – δ сегнетоэлектрич. фазовый переход. Обнаружена сильная зависимость от давл. частот линий v_8 , v_8 и v_9 . Увеличение давл. до 8 кбар смещает линию 803 см⁻¹ до 798 см⁻¹, причем ширина линии остается постоянной, что свидетельствует о слабой зависимости динамики протонов от давл. в параэлектрич. фазе. В области малых частот обнаружено квазимягкое поведение линии 40 см⁻¹. Сделано заключение, что β – δ -переход, так же как и α – β -переход, индуцируется подрешетками тяжелых ионов, а истинная мягкая мода перехода находится на границе зоны Бриллюэна. Отмечена структурная близость α - и δ -фаз.

Г. Л. Апарин

2.1980. N6

1979

$\text{NaH}_3(\text{SeO}_3)_2$

3 Б929. Изучение механизма фазового перехода в $\text{NaH}_3(\text{SeO}_3)_2$ при различных давлениях методом КР. Федотов А. П., Шабанов В. Ф., Шефер А. Д. «9-е Всес. совещ. по сегнетоэлектричеству, Ростов-на-Дону, 1979. Тез. докл. Ч. 1». Ростов-на-Дону, 1979, 113

Проведено исследование спектров КР монокристалла $\text{NaH}_3(\text{SeO}_3)_2(\text{SHS})$ в области $20-1000 \text{ см}^{-1}$ под гидростатич. давл. до 8 кбар при различных т-рах и наиболее детально вблизи первого фазового перехода $\alpha \rightarrow \beta$. Образец, вырезанный по осям оптич. индикатрисы при коми. т-ре и атмосферном давл., помещался в оптич. кювету высокого давл. с тремя кварцевыми окнами. Спектры КР возбуждались с помощью гелий-неонового лазера. При коми. т-ре обнаружена нелинейная зависимость от давл. малых частот v_7 , v_8 и v_9 , причем разделение частот v_8 и v_9 увеличивается на $5 \pm 1 \text{ см}^{-1}$ при возрастании давл. до 8 кбар. Линия с частотой $v = 803 \pm 1 \text{ см}^{-1}$, широта к-рой чувствительна к фазовым переходам в системе $\text{Na}(\text{H}_{1-x}\text{D}_x)_3(\text{SeO}_3)_2$, при повышении давл. до 8 кбар смещается до $798 \pm 1 \text{ см}^{-1}$ ($\partial \ln v /$)

(T_{Fe})

2: 1980 N3

$\beta/\partial p = -0,08\%$ кбар $^{-1}$). Сегнетоэлектрический переход при $T_c = 194$ К в SHS под действием гидростатич. давлений сдвигается в сторону низких т-р, причем при $p \geq 2$ кб. возникает новая фаза δ . При фиксированной т-ре $T < T_c$ с возрастанием p наблюдается фазовый переход. Показано, что первый фазовый переход в кристалле обусловлен мягким решеточным фононом.

Резюме

В. В.
Ченг

23 Б581. Спин-решеточная релаксация протонов в монокристалле $\text{NaH}_3(\text{SeO}_3)_2$. Hashimoto E., Tabata Y., Kawamoto A. Proton spin lattice relaxation in single crystal of $\text{NaH}_3(\text{SeO}_3)_2$. «Solid State Comm.», 1979, 31, № 2, 1117—1119 (англ.)

При т-рах 77—300° К измерены времена спин-решеточной релаксации T_1 протонов (8,01 МГц) в двух монокрист. образцах $\text{NaH}_3(\text{SeO}_3)_2$ (А и Б). Измерения T_1 при каждой т-ре проводились в течение 12 час. При одинаковой ориентации и т-ре 296° К образцы А и Б имели $T_1 = 1400$ и 880 сек соотв. Обнаружено, что за исключением областей, близких к точкам фазовых сегнетоэлектрич. переходов (196 и 100° К). Величина $T_1(T)$ определяется парамагнитными примесями и $T_1^{-1} = 8,5NC^{1/4}D^{3/4}$, где N — конц-ия парамагнитных примесей, C — константа ядерно-электронного дипольного взаимодействия, D — коэф. диффузии. Наблюдаемая т-рная зависимость $T_1^{-1}(T)$ имеет вид $T^{-1}\ln(T_c/(T - T_c))$. Релаксация при $T > 196$ ° К связана с решеткой нестабильностью. Логарифмич. расходимость величин T_1^{-1} свидетельствуют об анизотропном характере поляризац. флюктуаций и аномалии в поведении диэлектрич. проницаемости в этом же т-рном диапазоне.

С. П. Петросянц

(T_1^{-1})

10275

—
X

Р. 1979 № 24

1979

 $\text{NaH}_3(\text{SeO}_3)_2$

23 Б838. Исследование фазового перехода в $\text{NaH}_3(\text{SeO}_3)_2$ путем измерения пироэлектрического тока. Рукас Н. Investigation of a phase transition in $\text{NaH}_3(\text{SeO}_3)_2$ by measurement of the pyroelectric current, «Phys. status solidi», 1979, A53, № 1, 367—372 (англ.; рез. нем.)

В полях до 200 кВ/м исследованы т-рные зависимости пироэлектрических токов около т-ры 194,5 К в монохромат. пластинках $\text{NaH}_3(\text{SeO}_3)_2$, вырезанных вдоль x и y осей при различной ориентации внешнего поля. Показано, что фазовый переход сопровождается поляризацией и реориентацией доменов. Увеличение внешнего поля приводит к увеличению т-ры превращения. Переход $\beta \rightarrow \gamma$ носит характер превращения 1-го рода,

фазов.
перех.

Х1949N23

Проведен теор. анализ связи пироэлектрич. токов с
фазовыми переходами 1-го рода, в свете к-рого обсуж-
дены полученные результаты. Г. Л. Амарников

$\text{NaH}_3(\text{SeO}_3)_2$

1980

3 Е604. Особенности перестройки сегнетоэластичекой доменной структуры в кристаллах $\text{NaH}_3(\text{SeO}_3)_2$ под действием электрического поля. Иванова Т. И. «Сегнетоэлектрики и пьезоэлектрики». Калинин, 1980, 72—78

Итг

Исследована перестройка визуально наблюдалась сегнетоэластичекой доменной структуры под влиянием внешнего электрич. поля, параллельного сегнетоэластич. границам. Показано, что эта перестройка значительно разнообразнее, чем это было известно ранее. Установлено, что измельчение видимой доменной структуры соответствует переходу ее в более устойчивое состояние.

Автореферат

Ф. 1981 № 3

1980

Na_2Se_2

Na_2Se

92: 264403t Thermodynamic properties of a sodium-selenium system. Maiorova, E. A.; Morachevskii, A. G. (Leningr. Politekh. Inst., Leningrad, USSR). *Zh. Prikl. Khim.* (Leningrad) 1980, 53(2), 276-9 (Russ). Thermodyn. properties of molten Na-Se alloys (with concn. of Na of 0.9-50 at.%) were detd. at 723-860 K. from emf. measurements. The heat and entropy of formation of Na_2Se_2 [39775-49-0] (m. 768 K) were calcd. as well as the heat of fusion. The m.p. of Na_2Se [1313-85-5] is not known. Its heat and entropy of formation at 798-873 K were calcd. The std. values of the heats of formation are -342.6 ± 9.3 and -388.4 ± 42.0 kJ/mol for Na_2Se and Na_2Se_2 , resp.

$\Delta H_f, \Delta S_f$

T_m

CA 1980 92 n24

№ 2-3
№ 2-3
13 Б763. Термодинамические свойства системы натрий — селен. Майорова Е. А., Морачевский А. Г. 1980
«Ж. прикл. химии», 1980, 53, № 2, 276—279

Суммированы ранее полученные методом э. д. с. собственные данные по термодинамич. св-вам жидк. сплавов системы Na—Se и рассчитаны термодинамич. характеристики соединений Na₂Se и Na₂Se₂ в тв. состоянии. Табулированы рекомендуемые термодинамич. характеристики системы при 800 К. Для образования тв. Na₂Se в интервале 798—873 К $\Delta H = -394,8 \pm 6,3$ кДж/моль, $\Delta S = -402,4 \pm 6,0$ Дж/моль·К, при 298 К соотв. $-375,3 \pm 8,2$ и $-28,0 \pm 4,8$; при пересчете к 298 К использовано оценочное значение $C_p = 81,4$ Дж/моль·К. Для образования тв. Na₂Se₂ в интервале 723—768 К $\Delta H = -402 \pm 6,0$ кДж/моль, $\Delta S = -56,0 \pm 10,0$ Дж/моль·К, при 298 К соотв. $-376,8 \pm 7,5$ и $-35,4 \pm 5,7$, при пересчете к 298 К использовано оценочное ур-ние $C_p = 88,45 + 0,043 T$ кал/моль·К. Для плавления Na₂Se₂ получено $\Delta H = 15,6 \pm 5,2$ кДж/моль. По автореферату

Х 1980 № 13

1980



17 Б609. О движении протонов в тригидроселените натрия. Palacios J., Buchenau U. On the proton motion in sodium trihydrogen selenite. «Ferroelectrics», 1980, 25, № 1—4, 565—568 (англ.)

Методом некогерентного рассеяния нейтронов (3-осный спектрометр, вектор рассеяния 6 \AA^{-1} , перв. вектор $4,43\text{ \AA}^{-1}$) исследовано движение протонов на H-связях в $\text{NaH}_3(\text{SeO}_3)_2$ (I) при т-рах от 120 К до комн. В точке фазового перехода в I ($T_c = 194$ К) наблюдался резкий обратимый скачок интенсивности упругого рассеяния, что объясняется подавлением ниже T_c процесса туннелирования протона по двум позициям на H-связях. Это обстоятельство подтверждается также данными по неупругому рассеянию, из к-рых следует возможность наличия протонов и в др. позициях решетки I. На осно-

T_c

10.3.81

1

X

ве анализа т-рной зависимости частоты туннелирования и ширины линии показано, что характер движения кристаллографически неэквивалентных протонов в I различен: протоны, локализованные в центрах инверсии, переходят из одной возможной позиции в др. путем туннелирования, а протоны др. типа — путем термич. активируемого процесса.

С. Ш. Шильштейн

Х 1980 N 14



1981

Ichikawa Mizuhiko.

Chem. Phys. lett., 1981, 29,
N3, 583-587.

(rec KH_2PO_4) I

1981

NaD₃(SeO₃)₂

18 Б672. Изучение динамики протонов идейтронов в кристаллах $\text{NaH}_3(\text{SeO}_3)_2$ и $\text{NaD}_3(\text{SeO}_3)_2$ методом комбинационного рассеяния света. Федотов А. П., Ботвич А. Н., Шабанов В. Ф. «Физ. тверд. тела», 1981, 23, № 5, 1331—1334

Tz

Методом лазерной спектроскопии КР исследована зависимость динамики протонной идейтронной подсистем от темп. и давл. в кристаллах $\text{NaH}_3(\text{SeO}_3)_2$ и $\text{NaD}_3(\text{SeO}_3)_2$. На основе анализа поляризованных спектров КР в области 300—900 см⁻¹ сделан вывод о присутствии в параэлектрич. фазе структурных единиц $\text{HSeO}_3^- (\text{DSeO}_3^-)$ и $\text{H}_2\text{SeO}_3 (\text{D}_2\text{SeO}_3)$. Температурное поведение ширин линий, соответствующих внутренним колебаниям селенитовых групп, позволяет оценить средн. время жизни этих групп выше и ниже точки фазового перехода.

Резюме

Х 1981 N 18

$\text{NaH}_3(\text{SeO}_3)_2$

1982

} 3 Е822. Исследование сегнетоэластического фазового перехода в кристаллах $\text{NaH}_3(\text{SeO}_3)_2$ методом низкочастотного внутреннего трения. Бондаренко В. В., Гридинев С. А., Шувалов Л. А. «Сегнетоэлектрики и пьезоэлектрики». Калинин, 1982, 10—13

Параллельно исследованы температурные аномалии и модули сдвига ε_y . Показано, что т-ра аномального изменения модуля сдвига G_x расположена на 4,8 К выше точки сегнетоэлектрического фазового перехода.

Автореферат

T_{c} ;

оп. 1983, 18, № 3

NaH₃(SeO₃)₂

1985

8 Е683. Исследование сегнетоэластической фазы в кристалле $\text{NaH}_3(\text{SeO}_3)_2$, промежуточной между α - и β -фазами. Гридинев С. А., Шувалов Л. А., Бондаренко В. В. «Физ тверд тела» (Ленинград), 1985, 27, № 2, 464—468

НГЭ

Экспериментально исследованы диэлектрические, упругие, неупругие и тепловые свойства тригидроселенита натрия в интервале 190—200 К. Выше температуры Кюри между паразелектрич. α -фазой и сегнетоэлектрич. β -фазой выявлена промежуточная сегнетоэластич. β' -фаза. На основе эксперим. данных фазовый переход $\alpha \leftrightarrow \beta'$ классифицируется как переход I рода, происходящий с возникновением спонтанной деформации x_{6s} . Сделана оценка скачка деформации ($x_{6s} = 2,9 \cdot 10^{-3}$) при переходе $\alpha \leftrightarrow \beta'$ в рамках Н4 флюктуационного механизма, что по порядку величины совпадает со значением спонтанной деформации ($x_{6s} = 3,9 \cdot 10^{-3}$), полученным из обработки петель сегнетоэластич. гистерезиса. Резюме

cf. 1985, 18, N 8

NaH₇(SeO₃)₄

1985

23 B8. Получение и растворимость водородоселенитов натрия. Термоаналитические свойства, ИК-спектр и кристаллические данные $\text{NaH}_7(\text{SeO}_3)_4$. Preparation and solubility of sodium hydrogenselenites. Thermoanalytical properties, infrared spectra and crystal data of $\text{NaH}_7(\text{SeO}_3)_4$. Mička Z., Kratochvíl B., Podlahová J., Niinistö L. «Collect. Czechosl. Chem. Commun.», 1985, 50, № 6, 1368—1375 (англ.)

Килеман Галина

Изучена диаграмма фазимости в тройной системе $\text{Na}_2\text{SeO}_3\text{-H}_2\text{SeO}_3\text{-H}_2\text{O}$ при 25° С. В системе установлено образование трех водородоселенитов состава $\text{NaH}_7(\text{SeO}_3)_4$ (I), $\text{NaH}_3(\text{SeO}_3)_2$ (II) и NaHSeO_3 , максимум выход которых осуществляется при мол. отношениях $\text{H}_2\text{SeO}_3 : \text{H}_2\text{SeO}_3 : \text{H}_2\text{O}$, равных 0,4 : 5,9 : 9,2; 1,1 : 3,5 : 20 и 2,25 : 2,25 : 17,9 соотв. Методами ДТА, ТГ и ДТГ при нагревании со скоростью 10 град/мин в динамич. воздухе изучено термич. разл. I в интервале 25—600° С.

X. 1985, 19, N 23.

Показано, что механизм разл. I описывается р-циями
45–75°C 105–180°C 390–450°C

I → II → $\text{Na}_2\text{Se}_2\text{O}_5$ → Na_2SeO_3 . На основании данных ИК-спектра I обсуждены
св-ва протонов в водородных связях соли. Рентгено-
графически определены параметры решетки I [a
578,4 (2), b 493,8 (2), c 2008 (1) пм, β 100,39 (3)°, ρ
(расч.) 3,166, ρ (эксп.) 3,173 (3) г/см³, $Z=2$, ф. гр.
 $P2_1/c$ (C_{2h}^5)]. Г. П. Чичерина

$\text{NaH}_3(\text{SeO}_3)_2$

1986

105: 124649z New low-temperature structural phase transitions in sodium trihydroselenite crystals. Bondarenko, V. V.; Gridnev, S. A.; Shuvalov, S. A. (Voronezh. Politekh. Inst, Voronezh, USSR). *Fiz. Tverd. Tela (Leningrad)* 1986, 28(7), 2015-18 (Russ.). New structural phase transitions were obsd. in $\text{NaH}_3(\text{SeO}_3)_2$ at 5-130 K using ferroelec. hysteresis and dielec. property detns. A $\gamma \leftrightarrow \eta$ transition is obsd. at 83.7 and an $\eta \leftrightarrow \beta$ transition at 112.4 K. A $\beta \leftrightarrow \gamma$ transition occurs at 93.1 K, a $\beta' \leftrightarrow \beta$ transition at 194-196 K, and an $\alpha \leftrightarrow \beta'$ transition at ~ 195 K.

T_{tr}

C.A. 1986, 105, N 14

$\text{NaH}_3(\text{SeB}_3)_2$ [OM. 24745] 1986

$\text{NaH}_7(\text{SeB}_3)_4^{(K)}$ Micka Z., Ebert M.,

NaHSeB_3 Collect. Czechosl. Chem.

Na_2SeB_3 Commun., 1986, 51,

N 9, 1933-1941.

Dr H,

$\text{Na}_5\text{H}_3(\text{SeO}_4)_4 \cdot 2\text{H}_2\text{O}$

1990

19 В3. Строение и термическая устойчивость кислого селената $\text{Na}_5\text{H}_3(\text{SeO}_4)_4 \cdot 2\text{H}_2\text{O}$ / Козлова Н. П., Исхакова Л. Д., Маругин В. В., Жаданов Б. В., Полякова И. А. // Ж. неорган. химии.— 1990.— 35, № 6.— С. 1363—1368.— Рус.

Синтезирован кисл. селенат $\text{Na}_5\text{H}_3(\text{SeO}_4)_4 \cdot 2\text{H}_2\text{O}$ и изучена его структура. Параметры триклинной ячейки: $a = 9,957(3)$, $b = 7,254(1)$, $c = 5,954(2)$, A , $\alpha = 100,3(3)^\circ$, $\beta = 98,8(2)^\circ$, $\gamma = 102,4(2)^\circ$, $Z = 1$, пр. гр. $P1$, $R = 0,042$. В структуре HSeO_4^- анионы объединяются в тетрамеры $\text{H}_3(\text{SeO}_4)_4^{5-}$ водородными связями двух типов: симм. длиной в $2,477(2)$ Å с разупорядоченным положением протона и обычной несимм. длиной в $2,589(7)$ Å. Тетрамеры объединены в трехмерную постройку ионными связями $\text{Na}—\text{O}$, реализующимися в NaO_6 -полиэдрах, и H-связями с участием молекул воды. Проведено ИК-спектроскопич. и термоаналитич. исследование данного соединения, к-рое устойчиво до 120°C , гидратируется при $120—205^\circ\text{C}$ и разлагается при т-ре выше 205°C .

Резюме

термическ.
устойчивость

ж. 1990, N 19

Na-Se (u)
enriched

1991

116: 137152j Thermodynamic properties of the sodium-selenium and rubidium-selenium systems. Tumidajski, Peter J.; Toguri, J. M. (Dep. Mater. Eng., Univ. West. Ontario, London, ON Can. N6A 5B9). *Can. Metall. Q.* 1991, 30(3), 169-71 (Eng). Thermodn. properties of liq. Na-Se and Rb-Se alloys were detd. from emf. measurements on alkali metal concn. cells with a solid electrolyte consisting of either Na- β -Al₂O₃ or Rb- β -Al₂O₃. The results indicate that a two phase regime exists in the Na-Se system at high Se content. The Rb-Se alloys were Henrian and more thermodynamically stable than Rb-Pb or Rb-Bi alloys.

mpmg. cb-8a

Rb-Se (u-enriched)

①



C.A. 1992, 116, N 14

$\text{Na}_2\text{SeO}_4 \cdot \text{H}_2\text{O}$

1991

13 Б3144. Влияние гидратации аниона на теплоемкость и плотность водных растворов Na_2SeO_4 при 298,15 К / Василев В. А., Кручинина Т. И. // Изв. вузов. Химия и хим. технол.— 1991.— 34, № 12.— С. 43—46.— Рис.

С использованием калориметрич. установки ЛКБ-8700 и пикнометрич. установки повышенной точности измерены теплоемкость C_p^{298} и плотность ρ^{298} системы $\text{Na}_2\text{SeO}_4 \text{--- H}_2\text{O}$ в интервале конц-ий 0,1—1,5 моль· kg^{-1} H_2O при 298,15 К. Получены станд. значения кажущихся мольных теплоемкости Φ_C^0 и объема Φ_V^0 Na_2SeO_4 : —123 Дж·моль $^{-1}\cdot\text{K}^{-1}$ и 20,8 см $^3\cdot\text{моль}^{-1}$; а также селенат (6+)-иона: —64,4 Дж·моль $^{-1}\cdot\text{K}^{-1}$ и 12,6 см $^3\cdot\text{моль}^{-1}$. Рассчитано КЧ гидратации селенат(6+)-иона: $n=12$ (из данных плотности) и $n=8$ (из данных теплоемкости).

$(\rho, \Phi_C^0, \Phi_V^0)$

Х. 1992, N 13

Na - Se

1997

127: 40516v The Na-Se (sodium-selenium) system. Sangster, J.;
Pelton, A. D. (Centre de Recherche en Calcul Thermochimique, Ecole
Polytechnique de Montreal, Montreal, PQ Can. H3C 3A7). *J. Phase
Equilib.* 1997, 18(2), 185-189 (Eng), ASM International. A crit. review
with 22 refs. The equil. phase diagram and thermodn. of the title system,
intermediate compds., crystal structure and lattice parameters of the
phases are covered.

Pas. illus.
néançais.

C.A. 1997, 127, N 3